

Р. М. КИРАКОСЯН

ОБ УСТОЙЧИВОСТИ ПЛАСТИНОК ЗА ПРЕДЕЛАМИ УПРУГОСТИ С УЧЕТОМ ПОПЕРЕЧНЫХ СДВИГОВ

Устойчивости пластинок за пределами упругости материала в различных постановках посвящено много исследований ([1—5] и др.).

Для пластинок известно (см. [4], стр. 441), что с экспериментальными данными лучше согласуются теоретические значения критических нагрузок, найденные по деформационной теории пластичности без учета эффекта разгрузки.

В настоящей работе на основе деформационной теории пластичности [1] рассматривается устойчивость пластинок с учетом влияний поперечных сдвигов в условиях продолжающегося нагружения. Аналогичная задача на основе теории течения исследована в работе [5].

1. Рассмотрим пластинку постоянной толщины h , отнесенную к системе прямоугольных декартовых координат xuz . В качестве механических соотношений примем уравнения деформационной теории пластичности несжимаемого материала [1]

$$\sigma_x - \frac{1}{2} \sigma_y = \frac{\varepsilon_i}{e_i} e_x, \quad \sigma_y - \frac{1}{2} \sigma_x = \frac{\varepsilon_i}{e_i} e_y, \quad \tau_{xy} = \frac{\varepsilon_i}{3e_i} e_{xy} \quad (1.1)$$

где σ_x , σ_y , τ_{xy} и e_x , e_y , e_{xy} — компоненты напряжения и деформаций,

$$\begin{aligned} \varepsilon_i &= \sqrt{\varepsilon_x^2 + \varepsilon_y^2 + \varepsilon_{xy}^2 + 3\varepsilon_{xy}^2} \\ e_i &= \frac{2}{\sqrt{3}} \sqrt{e_x^2 + e_y^2 + e_{xy}^2 + \frac{1}{4} e_{xy}^2} \end{aligned} \quad (1.2)$$

— интенсивности касательных напряжений и деформации сдвига.

Пусть в пластинке, которая деформирована за пределами упругости, реализовано безмоментное напряженное состояние

$$\varepsilon_x, \quad \varepsilon_y, \quad \varepsilon_{xy} \quad (1.3)$$

При выпучивании напряжения в пластинке получают бесконечно малые приращения $\delta\varepsilon_x$, $\delta\varepsilon_y$, $\delta\varepsilon_{xy}$, $\delta\tau_{xy}$, $\delta\tau_{xz}$, $\delta\tau_{yz}$. Принимая гипотезу непрерывного нагружения ([7, 8]), согласно которой искривление пластинки возможно в условиях возрастания нагрузки, обеспечивающих нагружение во всех ее точках, с помощью (1.1) для вариаций $\delta\varepsilon_x$, $\delta\varepsilon_y$ и $\delta\varepsilon_{xy}$ получим

$$\begin{aligned}\hat{\sigma}_x &= a_{11} \hat{\epsilon}_x + a_{12} \hat{\epsilon}_y + a_{13} \hat{\epsilon}_{xy} \\ \hat{\sigma}_y &= a_{22} \hat{\epsilon}_y + a_{12} \hat{\epsilon}_x + a_{23} \hat{\epsilon}_{xy} \\ \hat{\sigma}_{xy} &= a_{33} \hat{\epsilon}_{xy} + a_{13} \hat{\epsilon}_x + a_{23} \hat{\epsilon}_y\end{aligned}\quad (1.4)$$

где

$$\begin{aligned}a_{11} &= \frac{4}{9e_i} \left[3\sigma_i + (2e_x + e_y)^2 \frac{d}{de_i} \left(\frac{\sigma_i}{e_i} \right) \right] \\ a_{22} &= \frac{4}{9e_i} \left[3\sigma_i + (2e_y + e_x)^2 \frac{d}{de_i} \left(\frac{\sigma_i}{e_i} \right) \right] \\ a_{33} &= \frac{1}{9e_i} \left[3\sigma_i + e_{xy}^2 \frac{d}{de_i} \left(\frac{\sigma_i}{e_i} \right) \right] \\ a_{12} &= \frac{2}{9e_i} \left[3\sigma_i + 2(2e_x + e_y)(2e_y + e_x) \frac{d}{de_i} \left(\frac{\sigma_i}{e_i} \right) \right] \\ a_{13} &= \frac{2}{9e_i} e_{xy} (2e_x + e_y) \frac{d}{de_i} \left(\frac{\sigma_i}{e_i} \right) \\ a_{23} &= \frac{2}{9e_i} e_{xy} (2e_y + e_x) \frac{d}{de_i} \left(\frac{\sigma_i}{e_i} \right)\end{aligned}\quad (1.5)$$

Будем исходить из уточненной теории пластинок С. А. Амбарцумяна [6], учитывающей влияние деформации поперечных сдвигов. В условиях отсутствия поверхностных нагрузок для тангенциальных напряжений по этой теории имеем

$$\tau_{xz} = f(z) \varphi(x, y), \quad \tau_{yz} = f(z) \psi(x, y) \quad (1.6)$$

где $f(z)$ — функция, характеризующая закон изменения касательных напряжений по толщине пластинки, $\varphi(x, y)$ и $\psi(x, y)$ — искомые функции.

Связь между касательными напряжениями (1.6) и соответствующими деформациями поперечных сдвигов пластинки имеет вид [1]

$$\tau_{xz} = \frac{\sigma_i}{3e_i} e_{xz}, \quad \tau_{yz} = \frac{\sigma_i}{3e_i} e_{yz} \quad (1.7)$$

Пользуясь геометрическими соотношениями

$$e_{xz} = \frac{\partial u_x}{\partial z} + \frac{\partial u_z}{\partial x}, \quad e_{yz} = \frac{\partial u_y}{\partial z} + \frac{\partial u_z}{\partial y} \quad (1.8)$$

где u_x, u_y, u_z — перемещения по направлению осей координат x, y, z , соответственно, с учетом (1.6) и (1.7) получим

$$\begin{aligned}\frac{\partial \delta u_x}{\partial z} &= -\frac{\partial \delta u_z}{\partial x} + \frac{3e_i}{\sigma_i} f(z) \varphi(x, y) \\ \frac{\partial \delta u_y}{\partial z} &= -\frac{\partial \delta u_z}{\partial y} + \frac{3e_i}{\sigma_i} f(z) \psi(x, y)\end{aligned}\quad (1.9)$$

Пренебрегая изменением нормальных перемещений точек пластины по ее толщине и деформированием срединной плоскости ($u=v=0$), из (1.9) путем интегрирования по z находим

$$\begin{aligned}\delta u_x &= -z \frac{\partial w}{\partial x} + \frac{3e_i}{\sigma_i} J_0(z) \varphi(x, y) \\ \delta u_y &= -z \frac{\partial w}{\partial y} + \frac{3e_i}{\sigma_i} J_0(z) \psi(x, y)\end{aligned}\quad (1.10)$$

Здесь

$$J_0(z) = \int_0^z f(z) dz \quad (1.11)$$

w — прогиб пластины.

Используя известные геометрические соотношения, с учетом (1.10) для вариаций деформаций получим

$$\begin{aligned}\delta e_x &= -z \frac{\partial^2 w}{\partial x^2} + 3J_0(z) \frac{\partial}{\partial x} \left(\varphi \frac{e_i}{\sigma_i} \right) \\ \delta e_y &= -z \frac{\partial^2 w}{\partial y^2} + 3J_0(z) \frac{\partial}{\partial y} \left(\psi \frac{e_i}{\sigma_i} \right) \\ \delta e_{xy} &= -2z \frac{\partial^2 w}{\partial x \partial y} + 3J_0(z) \left[\frac{\partial}{\partial y} \left(\varphi \frac{e_i}{\sigma_i} \right) + \frac{\partial}{\partial x} \left(\psi \frac{e_i}{\sigma_i} \right) \right]\end{aligned}\quad (1.12)$$

Внеся (1.12) в (1.4) и присоединяя к ним (1.6), для приращений напряжений выпуклой пластины находим

$$\begin{aligned}\delta \sigma_x &= -z \left(a_{11} \frac{\partial^2 w}{\partial x^2} + a_{12} \frac{\partial^2 w}{\partial y^2} + 2a_{13} \frac{\partial^2 w}{\partial x \partial y} \right) + 3J_0(z) \left\{ a_{11} \frac{\partial}{\partial x} \left(\varphi \frac{e_i}{\sigma_i} \right) + \right. \\ &\quad \left. + a_{12} \frac{\partial}{\partial y} \left(\varphi \frac{e_i}{\sigma_i} \right) + a_{13} \left[\frac{\partial}{\partial y} \left(\varphi \frac{e_i}{\sigma_i} \right) + \frac{\partial}{\partial x} \left(\varphi \frac{e_i}{\sigma_i} \right) \right] \right\} \\ \delta \sigma_y &= -z \left(a_{22} \frac{\partial^2 w}{\partial y^2} + a_{12} \frac{\partial^2 w}{\partial x^2} + 2a_{23} \frac{\partial^2 w}{\partial x \partial y} \right) + 3J_0(z) \left\{ a_{22} \frac{\partial}{\partial y} \left(\psi \frac{e_i}{\sigma_i} \right) + \right. \\ &\quad \left. + a_{12} \frac{\partial}{\partial x} \left(\psi \frac{e_i}{\sigma_i} \right) + a_{23} \left[\frac{\partial}{\partial y} \left(\psi \frac{e_i}{\sigma_i} \right) + \frac{\partial}{\partial x} \left(\psi \frac{e_i}{\sigma_i} \right) \right] \right\}\end{aligned}\quad (1.13)$$

$$\begin{aligned} \delta\tau_{xy} = & -z \left(a_{11} \frac{\partial^2 w}{\partial x^2} + a_{22} \frac{\partial^2 w}{\partial y^2} + 2a_{12} \frac{\partial^2 w}{\partial x \partial y} \right) + 3J_0(z) \left[a_{11} \frac{\partial}{\partial x} \left(\varphi \frac{e_i}{\sigma_i} \right) + \right. \\ & \left. + a_{22} \frac{\partial}{\partial y} \left(\psi \frac{e_i}{\sigma_i} \right) + a_{12} \left[\frac{\partial}{\partial y} \left(\varphi \frac{e_i}{\sigma_i} \right) + \frac{\partial}{\partial x} \left(\psi \frac{e_i}{\sigma_i} \right) \right] \right] \end{aligned} \quad (1.13)$$

$$\tau_{xz} = f(z) \varphi(x, y), \quad \tau_{yz} = f(z) \psi(x, y)$$

Поступая как обычно, для приращений моментов и поперечных сил получим

$$\begin{aligned} \delta M_x = & -\frac{h^3}{12} \left(a_{11} \frac{\partial^2 w}{\partial x^2} + a_{22} \frac{\partial^2 w}{\partial y^2} + 2a_{12} \frac{\partial^2 w}{\partial x \partial y} \right) + \\ & + 3J_1 \left[a_{11} \frac{\partial}{\partial x} \left(\varphi \frac{e_i}{\sigma_i} \right) + a_{12} \frac{\partial}{\partial y} \left(\psi \frac{e_i}{\sigma_i} \right) + a_{13} \left[\frac{\partial}{\partial y} \left(\varphi \frac{e_i}{\sigma_i} \right) + \frac{\partial}{\partial x} \left(\psi \frac{e_i}{\sigma_i} \right) \right] \right] \\ \delta M_y = & -\frac{h^3}{12} \left(a_{22} \frac{\partial^2 w}{\partial y^2} + a_{11} \frac{\partial^2 w}{\partial x^2} + 2a_{12} \frac{\partial^2 w}{\partial x \partial y} \right) + \\ & + 3J_1 \left[a_{22} \frac{\partial}{\partial y} \left(\psi \frac{e_i}{\sigma_i} \right) + a_{12} \frac{\partial}{\partial x} \left(\varphi \frac{e_i}{\sigma_i} \right) + a_{23} \left[\frac{\partial}{\partial y} \left(\varphi \frac{e_i}{\sigma_i} \right) + \frac{\partial}{\partial x} \left(\psi \frac{e_i}{\sigma_i} \right) \right] \right] \\ \delta H = & -\frac{h^3}{12} \left(a_{13} \frac{\partial^2 w}{\partial x^2} + a_{23} \frac{\partial^2 w}{\partial y^2} + 2a_{12} \frac{\partial^2 w}{\partial x \partial y} \right) + \\ & + 3J_1 \left[a_{13} \frac{\partial}{\partial x} \left(\varphi \frac{e_i}{\sigma_i} \right) + a_{23} \frac{\partial}{\partial y} \left(\psi \frac{e_i}{\sigma_i} \right) + a_{33} \left[\frac{\partial}{\partial y} \left(\varphi \frac{e_i}{\sigma_i} \right) + \frac{\partial}{\partial x} \left(\psi \frac{e_i}{\sigma_i} \right) \right] \right] \end{aligned} \quad (1.14)$$

$$N_1 = J_1 \varphi(x, y), \quad N_2 = J_1 \psi(x, y)$$

где

$$J_1 = \int_{-h/2}^{h/2} z J_0(z) dz, \quad J_2 = \int_{-h/2}^{h/2} f(z) dz \quad (1.15)$$

Уравнения равновесия дифференциального элемента пластинки после выпучивания имеют вид [5]

$$\begin{aligned} \frac{\partial \delta M_x}{\partial x} + \frac{\partial \delta H}{\partial y} = & N_1, \quad \frac{\partial \delta M_y}{\partial y} + \frac{\partial \delta H}{\partial x} = N_2 \\ \frac{\partial N_1}{\partial x} + \frac{\partial N_2}{\partial y} + T_x^0 \frac{\partial^2 w}{\partial x^2} + T_y^0 \frac{\partial^2 w}{\partial y^2} + 2S^0 \frac{\partial^2 w}{\partial x \partial y} = & 0 \end{aligned} \quad (1.16)$$

где T_x^0, T_y^0, S^0 — внутренние тангенциальные силы начального безмоментного состояния —

$$T_x^0 = h \tau_{xx}, \quad T_y^0 = h \tau_{yy}, \quad S^0 = h \tau_{xy} \quad (1.17)$$

Подставляя (1.14) в (1.16), получим следующую систему относительно функций $w(x, y)$, $\varphi(x, y)$ и $\psi(x, y)$:

$$\begin{aligned}
 & \frac{\partial}{\partial x} \left(a_{11} \frac{\partial^2 w}{\partial x^2} + a_{12} \frac{\partial^2 w}{\partial y^2} + 2a_{13} \frac{\partial^2 w}{\partial x \partial y} \right) - \frac{36J_1}{h^3} \frac{\partial}{\partial x} \left\{ a_{11} \frac{\partial}{\partial x} \left(\varphi \frac{e_i}{\sigma_i} \right) + \right. \\
 & + a_{12} \frac{\partial}{\partial y} \left(\psi \frac{e_i}{\sigma_i} \right) + a_{13} \left[\frac{\partial}{\partial y} \left(\varphi \frac{e_i}{\sigma_i} \right) + \frac{\partial}{\partial x} \left(\psi \frac{e_i}{\sigma_i} \right) \right] \left. \right\} + \frac{\partial}{\partial y} \left(a_{13} \frac{\partial^2 w}{\partial x^2} + \right. \\
 & + a_{23} \frac{\partial^2 w}{\partial y^2} + 2a_{23} \frac{\partial^2 w}{\partial x \partial y} \left. \right) - \frac{36J_1}{h^3} \frac{\partial}{\partial y} \left\{ a_{13} \frac{\partial}{\partial x} \left(\varphi \frac{e_i}{\sigma_i} \right) + a_{23} \frac{\partial}{\partial y} \left(\psi \frac{e_i}{\sigma_i} \right) + \right. \\
 & \quad \left. + a_{33} \left[\frac{\partial}{\partial y} \left(\varphi \frac{e_i}{\sigma_i} \right) + \frac{\partial}{\partial x} \left(\psi \frac{e_i}{\sigma_i} \right) \right] \right\} + \frac{12J_2}{h^3} \varphi = 0 \\
 & \frac{\partial}{\partial y} \left(a_{22} \frac{\partial^2 w}{\partial y^2} + a_{12} \frac{\partial^2 w}{\partial x^2} + 2a_{23} \frac{\partial^2 w}{\partial x \partial y} \right) - \frac{36J_1}{h^3} \frac{\partial}{\partial y} \left\{ a_{22} \frac{\partial}{\partial y} \left(\psi \frac{e_i}{\sigma_i} \right) + \right. \\
 & + a_{12} \frac{\partial}{\partial x} \left(\varphi \frac{e_i}{\sigma_i} \right) + a_{23} \left[\frac{\partial}{\partial y} \left(\varphi \frac{e_i}{\sigma_i} \right) + \frac{\partial}{\partial x} \left(\psi \frac{e_i}{\sigma_i} \right) \right] \left. \right\} + \frac{\partial}{\partial x} \left(a_{13} \frac{\partial^2 w}{\partial x^2} + \right. \\
 & + a_{23} \frac{\partial^2 w}{\partial y^2} + 2a_{33} \frac{\partial^2 w}{\partial x \partial y} \left. \right) - \frac{36J_1}{h^3} \frac{\partial}{\partial x} \left\{ a_{13} \frac{\partial}{\partial x} \left(\varphi \frac{e_i}{\sigma_i} \right) + a_{23} \frac{\partial}{\partial y} \left(\psi \frac{e_i}{\sigma_i} \right) + \right. \\
 & \quad \left. + a_{33} \left[\frac{\partial}{\partial y} \left(\varphi \frac{e_i}{\sigma_i} \right) + \frac{\partial}{\partial x} \left(\psi \frac{e_i}{\sigma_i} \right) \right] \right\} + \frac{12J_2}{h^3} \psi = 0 \\
 & J_2 \left(\frac{\partial \varphi}{\partial x} + \frac{\partial \psi}{\partial y} \right) + T_x^0 \frac{\partial^2 w}{\partial x^2} + T_y^0 \frac{\partial^2 w}{\partial y^2} + 2S^0 \frac{\partial^2 w}{\partial x \partial y} = 0
 \end{aligned} \tag{1.18}$$

Это система устойчивости пластины за пределами упругости материала.

Пренебрегая влиянием деформаций поперечных сдвигов, вместо системы (1.18) получим уравнение устойчивости неупругой пластины в классической постановке.

2. Рассмотрим задачу об устойчивости шарнирно опертой по всему контуру ($x=0, x=a, y=0, y=b$) прямоугольной пластины, сжатой в своей плоскости по направлениям x и y давлениями p и kph , соответственно. Для простоты ограничимся случаем линейного упрочнения материала [1]

$$\sigma_i = 3G [(1-\lambda)e_i + \lambda e_s], \quad \lambda = 1 - \frac{1}{3G} \frac{de_i}{de_s} = \text{const} \tag{2.1}$$

где G — модуль сдвига, e_s — предел упругих деформаций материала.

Полагая

$$T_x^0 = -ph, \quad T_y^0 = -kph, \quad S^0 = 0 \tag{2.2}$$

и используя (1.1), (1.2) и (2.1), находим

$$\begin{aligned} \sigma_i &= \nu p, & e_i &= \frac{\nu p - \lambda p_s}{3G(1-\nu)}, & z &= \sqrt{1 - k + k^2}, & p_s &= 3Ge_z \\ 2e_x + e_y &= -\frac{\nu p - \lambda p_s}{2\nu G(1-\nu)}, & 2e_y + e_x &= -k \frac{\nu p - \lambda p_s}{2\nu G(1-\nu)}, & e_{xy} &= 0 \end{aligned} \quad (2.3)$$

Из (1.5) с учетом (2.3) для коэффициентов a_{ij} получим

$$\begin{aligned} a_{11} &= A \frac{4\nu^3 p - 3B}{\nu p - B}, & a_{22} &= A \frac{4\nu^3 p - 3k^2 B}{\nu p - B}, & a_{33} &= A \frac{\nu^3 p}{\nu p - B} \\ a_{12} &= A \frac{2\nu^3 p - 3kB}{\nu p - B}, & a_{13} &= a_{23} = 0 \\ A &= \frac{G(1-\lambda)}{z^2}, & B &= \lambda p_s, & \frac{e_i}{\sigma_i} &= \frac{1}{3a_{33}} \end{aligned} \quad (2.4)$$

Имея в виду, что коэффициенты a_{ij} не зависят от координат, из (1.18) получим систему устойчивости рассматриваемой шарнирно опертой пластинки

$$\begin{aligned} \frac{ph}{J_2} \left(\frac{\partial^2 w}{\partial x^2} + k \frac{\partial^2 w}{\partial y^2} \right) - \frac{\partial \varphi}{\partial x} - \frac{\partial \psi}{\partial y} &= 0 \\ a_{11} \frac{\partial^3 w}{\partial x^3} + (a_{12} + 2a_{33}) \frac{\partial^3 w}{\partial x \partial y^2} - \frac{12J_1}{h^3} \left(\frac{a_{11}}{a_{33}} \frac{\partial^2 \varphi}{\partial x^2} + \frac{\partial^2 \varphi}{\partial y^2} \right) + \right. \\ \left. + \frac{12J_2}{h^3} \varphi - \frac{12J_1}{h^3} \left(1 + \frac{a_{12}}{a_{33}} \right) \frac{\partial^2 \psi}{\partial x \partial y} \right. &= 0 \\ a_{22} \frac{\partial^3 w}{\partial y^3} + (a_{12} + 2a_{33}) \frac{\partial^3 w}{\partial x^2 \partial y} - \frac{12J_1}{h^3} \left(1 + \frac{a_{12}}{a_{33}} \right) \frac{\partial^2 \varphi}{\partial x \partial y} - \\ - \frac{12J_1}{h^3} \left(\frac{\partial^2 \varphi}{\partial x^2} + \frac{a_{22}}{a_{33}} \frac{\partial^2 \varphi}{\partial y^2} \right) + \frac{12J_2}{h^3} \varphi &= 0 \end{aligned} \quad (2.5)$$

Границные условия шарнирного опирания пластинки с учетом (1.10) – (1.14) представим в виде

при $x = 0, x = a$

$$w = 0, u_y \text{ или } \psi = 0$$

$$M_x = -\frac{h^3}{12} \left(a_{11} \frac{\partial^2 w}{\partial x^2} + a_{12} \frac{\partial^2 w}{\partial y^2} \right) + \frac{J_1}{a_{33}} \left(a_{11} \frac{\partial \varphi}{\partial x} + a_{12} \frac{\partial \psi}{\partial y} \right) = 0 \quad (2.6)$$

при $y = 0, y = b$

$$w = 0, u_x \text{ или } \varphi = 0$$

$$M_y = -\frac{h^3}{12} \left(a_{22} \frac{\partial^2 w}{\partial y^2} + a_{12} \frac{\partial^2 w}{\partial x^2} \right) + \frac{J_1}{a_{33}} \left(a_{22} \frac{\partial \varphi}{\partial y} + a_{12} \frac{\partial \varphi}{\partial x} \right) = 0$$

Соблюдая эти граничные условия, решение системы (2.5) ищем в форме

$$\begin{aligned} w(x, y) &= C_w \sin \frac{m\pi x}{a} \sin \frac{n\pi y}{b} \\ \varphi(x, y) &= C_\varphi \cos \frac{m\pi x}{a} \sin \frac{n\pi y}{b} \\ \psi(x, y) &= C_\psi \sin \frac{m\pi x}{a} \cos \frac{n\pi y}{b} \end{aligned} \quad (2.7)$$

где C_w, C_φ, C_ψ — постоянные, m и n — целые числа, показывающие число полуволни искривленной пластиинки. Подставляя (2.7) в (2.5), получим следующую систему однородных алгебраических уравнений относительно неизвестных постоянных:

$$\begin{aligned} ph \left(\frac{m^2}{a^2} + k \frac{n^2}{b^2} \right) C_w - \frac{J_2 m}{\pi a} C_\varphi - \frac{J_2 n}{\pi b} C_\psi &= 0 \\ \frac{\pi m}{a} \left[a_{11} \frac{m^2}{a^2} + (a_{12} + 2a_{33}) \frac{n^2}{b^2} \right] C_w - \frac{12}{h^3} \left[\frac{J_2}{\pi^2} + J_1 \left(\frac{n^2}{b^2} + \frac{a_{11}}{a_{33}} \frac{m^2}{a^2} \right) \right] C_\varphi - \right. \\ \left. - \frac{12}{h^3} J_1 \left(1 + \frac{a_{12}}{a_{33}} \right) \frac{mn}{ab} C_\psi &= 0 \\ \frac{\pi n}{b} \left[a_{22} \frac{n^2}{b^2} + (a_{12} + 2a_{33}) \frac{m^2}{a^2} \right] C_w - \frac{12}{h^3} J_1 \left(1 + \frac{a_{12}}{a_{33}} \right) \frac{mn}{ab} C_\varphi - \right. \\ \left. - \frac{12}{h^3} \left[\frac{J_2}{\pi^2} + J_1 \left(\frac{m^2}{a^2} + \frac{a_{22}}{a_{33}} \frac{n^2}{b^2} \right) \right] C_\psi &= 0 \end{aligned} \quad (2.8)$$

Приравнивая нуль определитель этой системы (условие существования нетривиального решения), с учетом (2.4) для критического давления получим квадратное уравнение

$$A_1 p^2 - A_2 p + A_3 = 0 \quad (2.9)$$

где обозначено

$$\begin{aligned} A_1 &= \left[\frac{1}{\pi^2} + \frac{J_1}{J_2} \left(\frac{m^2}{a^2} + \frac{n^2}{b^2} \right) \right] \left[\frac{1}{\pi^2} + 4 \frac{J_1}{J_2} \left(\frac{m^2}{a^2} + \frac{n^2}{b^2} \right) \right] \\ A_2 &= \frac{3B}{\pi^3} \frac{J_1}{J_2} \left\{ k^2 \frac{n^2}{b^2} \left[\frac{1}{\pi^2} + \frac{J_1}{J_2} \left(4 \frac{m^2}{a^2} + \frac{n^2}{b^2} \right) \right] + \right. \\ &\quad \left. + \frac{m^2}{a^2} \left[\frac{1}{\pi^2} + \frac{J_1}{J_2} \left(\frac{m^2}{a^2} + 4 \frac{n^2}{b^2} \right) \right] - 6 \frac{J_1}{J_2} k \frac{m^2 n^2}{a^2 b^2} \right\} + \\ &\quad + \frac{B}{\pi} \left[\frac{1}{\pi^2} + \frac{J_1}{J_2} \left(\frac{m^2}{a^2} + \frac{n^2}{b^2} \right) \right] \left[\frac{1}{\pi^2} + 4 \frac{J_1}{J_2} \left(\frac{m^2}{a^2} + \frac{n^2}{b^2} \right) \right] + \end{aligned} \quad (2.10)$$

$$\begin{aligned}
 & + \frac{1}{3} Ah^2 x^2 \frac{\left(\frac{m^2}{a^2} + \frac{n^2}{b^2}\right)^2}{\frac{m^2}{a^2} + k \frac{n^2}{b^2}} \left[\frac{1}{\pi^2} + \frac{J_1}{J_2} \left(\frac{m^2}{a^2} + \frac{n^2}{b^2} \right) \right] \\
 A_3 = & \frac{ABh^2}{x} \left\{ \frac{1}{4} \left(\frac{m^2}{a^2} + k \frac{n^2}{b^2} \right) \left[\frac{1}{\pi^2} + \frac{J_1}{J_2} \left(\frac{m^2}{a^2} + \frac{n^2}{b^2} \right) \right] + \right. \\
 & + \frac{J_1}{J_2} (1-k)^2 \frac{\frac{m^2}{a^2} + \frac{n^2}{b^2}}{\frac{m^2}{a^2} + k \frac{n^2}{b^2}} \left. \right\} + 3 \frac{J_1}{J_2} \frac{B^2}{x^4} \left\{ k^2 \frac{n^2}{b^2} \left[\frac{1}{\pi^2} + \frac{J_1}{J_2} \left(4 \frac{m^2}{a^2} + \frac{n^2}{b^2} \right) \right] + \right. \\
 & \left. + \frac{m^2}{a^2} \left[\frac{1}{\pi^2} + \frac{J_1}{J_2} \left(\frac{m^2}{a^2} + 4 \frac{n^2}{b^2} \right) \right] - 6 \frac{J_1}{J_2} k \frac{m^2 n^2}{a^2 b^2} \right\} \quad (2.10)
 \end{aligned}$$

Предположим, что пластинка теряет устойчивость в пределах упругости ($G=0$). Тогда с учетом (2.1), (2.4) и (2.10) имеем

$$B = 0, \quad A = \frac{G}{x^2}, \quad A_3 = 0 \quad (2.11)$$

Соответствующее значение критического давления p_c из (2.9) определяется однозначно

$$p_c = \frac{A_2}{A_1} = \frac{Gh^2}{3} \frac{\left(\frac{m^2}{a^2} + \frac{n^2}{b^2}\right)^2}{\frac{m^2}{a^2} + k \frac{n^2}{b^2}} \frac{1}{\frac{1}{\pi^2} + 4 \frac{J_1}{J_2} \left(\frac{m^2}{a^2} + \frac{n^2}{b^2} \right)} \quad (2.12)$$

В дальнейшем будем считать, что

$$\varepsilon_z|_{p=p_c} = p_c \varepsilon_z = 3Ge_z \quad (2.13)$$

то есть пластинка теряет устойчивость за пределами упругости. С учетом (2.13) и (2.4) для этого случая имеем

$$p_{kp} > \frac{\varepsilon_z}{x} > \frac{B}{x} = \frac{3\varepsilon_z}{x} \quad (2.14)$$

С учетом (2.10) для значения функции

$$\Phi(p) = A_1 p^2 - A_2 p + A_3 \quad (2.15)$$

в точке $p = \frac{B}{x}$ получим

$$\Phi\left(\frac{B}{\pi}\right) = -\frac{1}{12\pi} \frac{ABh^2}{m^2} + k \frac{n^2}{b^2} \left\{ \frac{1}{\pi^2} \left[\frac{m^4}{a^4} (1-2k)^2 + \frac{n^4}{b^4} (2-k)^2 + 2 \frac{m^2 n^2}{a^2 b^2} (4-7k+4k^2) \right] + \frac{J_1}{J_2} \left(\frac{m^2}{a^2} + \frac{n^2}{b^2} \right) \left[\frac{m^2}{a^2} - 2 \frac{n^2}{b^2} + k \left(\frac{n^2}{b^2} - 2 \frac{m^2}{a^2} \right) \right]^2 \right\} < 0 \quad (2.16)$$

Так как функция $\Phi(p)$ отрицательные значения принимает только на отрезке, ограниченном корнями уравнения (2.9), то в силу (2.16) заключаем, что значение $p = \frac{B}{\pi}$ находится между корнями этого уравнения, то есть

$$p_1 < \frac{B}{\pi} < p_2 \quad (2.17)$$

Очевидно, что первый корень уравнения (2.9) p_1 не может быть решением задачи, так как для него нарушается условие (2.14).

Таким образом, критическое значение давления p_{kp} определяется большим корнем уравнения (2.9)

$$p_{kp} = p_2 = \frac{A_2 + 1 \sqrt{A_2^2 - 4A_1 A_3}}{2A_1} \quad (2.18)$$

Введя понятие секущего модуля

$$E_c = \frac{\sigma}{\epsilon_1} = 3Ar^3 \frac{p}{\pi p - \sigma} \quad (2.19)$$

квадратному уравнению (2.9) можно придать формально линейный вид и для критического значения давления записать

$$p_{kp} = \frac{1}{A_1 B E_c} [A_2 B E_c + A_3 (3Ar^2 - E_c)] \quad (2.20)$$

Однако выражение (2.20) не является окончательным, так как секущий модуль E_c зависит от неизвестного p_{kp} . В этом смысле предпочтение следует отдать выражению (2.18).

Отбрасывая из (2.10) члены, содержащие $\frac{J_1}{J_2}$, получим выражение коэффициентов A_i по классической постановке задачи устойчивости

$$A_1 = 1, \quad A_2 = \frac{B}{\pi} + \frac{\pi^2}{3} Ah^2 r^2 \frac{\left(\frac{m^2}{a^2} + \frac{n^2}{b^2} \right)^2}{\frac{m^2}{a^2} + k \frac{n^2}{b^2}} \quad (2.21)$$

$$A_3 = \frac{\pi^2}{4z} ABh^2 \left(\frac{m^2}{a^2} + k \frac{n^2}{b^2} \right) \quad (2.21)$$

Рассмотрим частные случаи.

а) Для квадратной пластинки ($a=b$), сжимающейся со всех сторон равномерным давлением p ($k=z=1$), из (2.10) получим

$$A_1 = 1 + 8 \frac{J_1}{J_2} \frac{m^2 \pi^2}{a^2}, \quad A_2 = B + \frac{2}{3} \left(Ah^2 + 21 \frac{J_1}{J_2} B \right) \frac{m^2 \pi^2}{a^2} \quad (2.22)$$

$$A_3 = \frac{1}{2} B \left(Ah^2 + 12 \frac{J_1}{J_2} B \right) \frac{m^2 \pi^2}{a^2}$$

б) Полагая в (2.10) $k=0$, $z=1$ и переходя к пределу при $b \rightarrow \infty$, получим выражения коэффициентов A_i для шарнирно опертой бесконечной полосы, сжимающейся равномерным давлением p

$$A_1 = 1 + 4 \frac{J_1}{J_2} \frac{m^2 \pi^2}{a^2}, \quad A_2 = B + \frac{1}{3} \left(Ah^2 + 21 \frac{J_1}{J_2} B \right) \frac{m^2 \pi^2}{a^2} \quad (2.23)$$

$$A_3 = \frac{1}{4} B \left(Ah^2 + 12 \frac{J_1}{J_2} B \right) \frac{m^2 \pi^2}{a^2}$$

3. Рассмотрим численный пример. Имея в виду, что произвол в разумном выборе закона распределения касательных напряжений по толщине пластины $f(z)$ не может внести недопустимых погрешностей [6], положим

$$f(z) = \frac{1}{2} \left(\frac{h^2}{4} - z^2 \right) \quad (3.1)$$

С учетом (1.11) и (1.15) имеем

$$\frac{J_1}{J_2} = \frac{h^2}{10} \quad (3.2)$$

Пусть

$$\frac{h}{a} = \frac{1}{5}, \quad \lambda = \frac{1}{6}, \quad G = 7 \cdot 10^5 \text{ кг/см}^2, \quad z_s = 2 \cdot 10^3 \text{ кг/см}^2 \quad (3.3)$$

В табл. 1 представлены результаты вычисления значений критического давления для бесконечной полосы, сжимающейся в направлении коротких сторон. С целью сравнения в последних трех столбцах таблицы приводятся значения критического давления по теории течения [5], подсчитанные для этого же случая (3.3).

Таблица 1

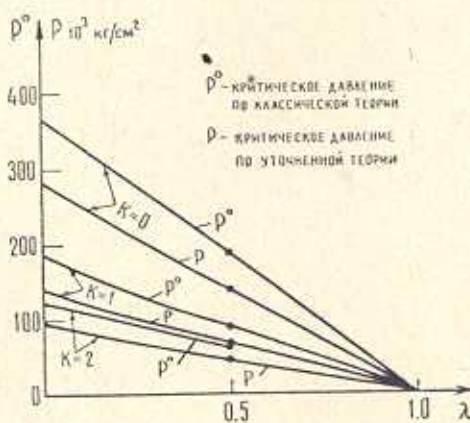
| m | P_4^0 | P_T | P_4^0/P_T | P_T^0 | P_T | P_T^0/P_T |
|-----|--------------------------|--------------------------|-------------|--------------------------|--------------------------|-------------|
| | в 10^3 кг/см^2 | в 10^3 кг/см^2 | | в 10^3 кг/см^2 | в 10^3 кг/см^2 | |
| 1 | 76.769 | 66.334 | 1.157 | 80.524 | 70.759 | 1.138 |
| 2 | 306.827 | 188.135 | 1.631 | 322.096 | 207.536 | 1.552 |

Из этой таблицы видно, что относительные поправки, вносимые со стороны уточненной теории пластинок [6], для обеих теорий пластичности примерно одинаковы. Разница между абсолютными значениями критического давления обусловлена характерами теорий пластичности и существенно не зависит от учета влияния деформаций поперечного сдвига. Как и обычно, здесь тоже теория течения дает завышенные значения для критического давления.

Рассмотрим численный пример шарнирно опертой квадратной пластинки, сжимающейся давлениями p и $k\tau$. Варьируя значения параметров λ и k , приходим к результатам, представленным в табл. 2.

Таблица 2

| λ | P | 0 | | 0.5 | | 1.0 | |
|-----------|--------|--------------------------|---------|--------------------------|---------|--------------------------|---------|
| | | в 10^3 кг/см^2 | p^0/p | в 10^3 кг/см^2 | p^0/p | в 10^3 кг/см^2 | p^0/p |
| 0 | 368.47 | 280.03 | 1.32 | 185.05 | 140.87 | 1.31 | 2.00 |
| 1 | 184.23 | 140.01 | 1.32 | 92.37 | 70.44 | 1.31 | 2.00 |
| 2 | 122.82 | 93.34 | 1.32 | 61.66 | 47.00 | 1.31 | 1.15 |



Фиг. 1.

С помощью этих данных на фиг. 1 построены графики изменения критических давлений и их отношений в зависимости от параметра λ , характеризующего пластические свойства материала. Из графиков замечаем, что наибольшее расхождение между значениями критических

тавлений по классической и уточненной теориям имеет место для линейно упругого материала $\lambda=0$. С увеличением пластических свойств это расхождение монотонно убывает и при стремлении материала к идеально-пластическому (при $\lambda \rightarrow 1$) оно полностью исчезает.

Институт механики
АН Армянской ССР

Поступила 28 XI 1973

Ю. Г. ЧЕРЧИЛИАШВИЛИ

ОБЩИЕ РЕЗУЛЬТАТЫ ПОДСЧЕТНЫХ ПОДСТАВЛЕНИЙ ПЛАСТИЧНОСТИ ПЛАСТИНКИ ИЗ ЭЛАСТИЧЕСКОГО МАТЕРИАЛА С УЧЕТОМ ПРОДОЛЖАЮЩЕЙСЯ ЗАГРУЗКИ

Ю. Г. ЧЕРЧИЛИАШВИЛИ

Фундаментальная задача о статике пластины с учетом поперечных сдвигов и изгиба в условиях неупругости и неизотропности материала решена в общем виде. Решение получено в виде интегрального уравнения, которое сводится к решению одномерного краевого задачи. Важной особенностью решения является то, что оно не зависит от величины погрешности, с которой определяются коэффициенты интегрирования. Это позволяет использовать различные методы для определения коэффициентов интегрирования, в том числе численные методы.

**ON STABILITY OF PLATES OUTSIDE ELASTICITY
WITH DUE REGARD FOR TRANSVERSAL DISPLACEMENTS**

R. M. KIRAKOSIAN

Summary

The stability of plates outside elasticity with due regard for transversal displacements in conditions of continued loading in terms of deformation theory of plasticity is considered. A numerical example is presented.

ЛИТЕРАТУРА

- Наличник А. А. Пластичность. Гостехиздат, М.—Л., 1948.
- Качанов Л. М. Основы теории пластичности. Физматгиз, М., 1969.
- Хорн М. Устойчивость упруго-пластических конструкций. Механика, № 1, 1965.
- Вольмир А. С. Устойчивость деформируемых систем. Физматгиз, М., 1967.
- Амбарцумян С. А. Об устойчивости неупругих пластинок с учетом деформаций поперечных сдвигов. ПММ, т. XXVII, в. 4, 1963.
- Амбарцумян С. А. Теория эпизотропных пластин. Физматгиз, М., 1967.
- Shanley F. R. Inelastic column theory. Journ. of the Aeronautical Sciences, v. XIV, № 5, 1947.
- Работнов Ю. Н., Шестериков С. А. Устойчивость стержней и пластинок в условиях ползучести. ПММ, т. XXI, в. 3, 1957.